

第2章 规则金属波导

2.1 导波原理

2.2 矩形波导

2.3 圆形波导

2.4 波导的激励与耦合



主要内容:

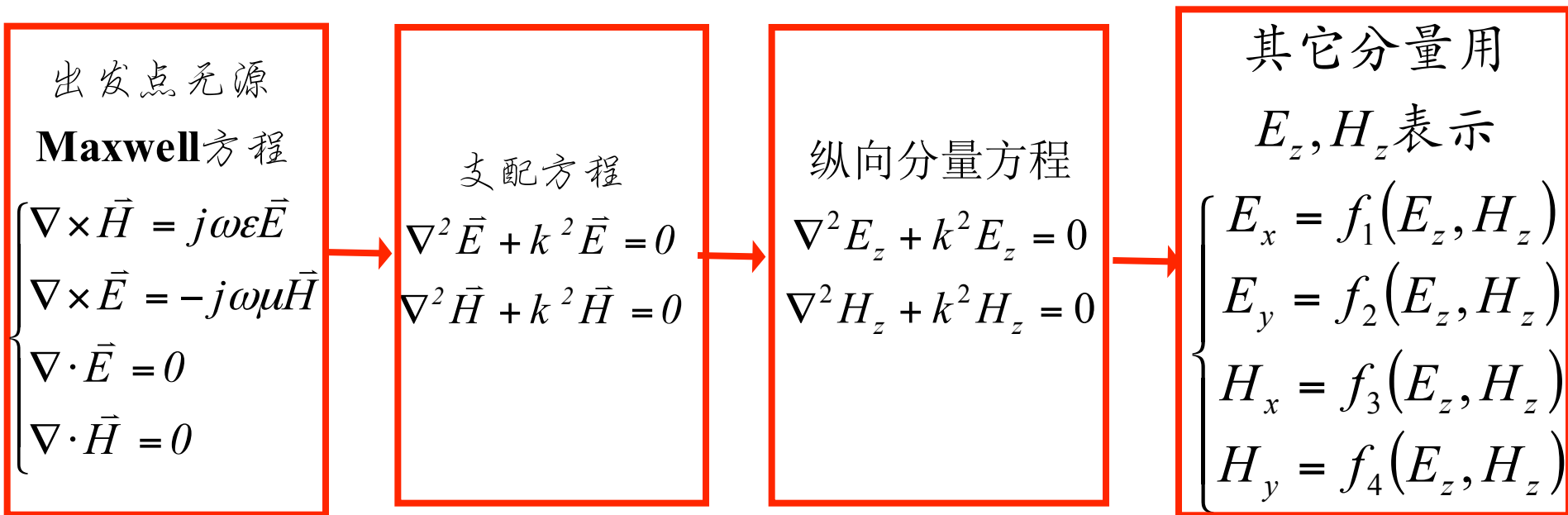
1. 矩形波导中的场
2. 矩形波导的传输特性
3. 矩形波导中的主模 TE_{10} 模

基本要求:

1. 掌握矩形波导的定义
 2. 掌握矩形波导中的场
 3. 掌握矩形波导中的截止波数与截止波长
 4. 掌握矩形波导中主模的定义及特点
 5. 掌握矩形波导中的主模 TE_{10} 模场的表达式
 6. 掌握矩形波导中的主模 TE_{10} 模的传输特性
- 习题: 2.2, 2.3, 2.4, 2.6

2. 2矩形波导(Rectangular Waveguide)

◆波导的一般解采用纵向分量法，其流程图如下所示。



纵向分量法流程图

核心

2. 2矩形波导(Rectangular Waveguide)

一、矩形波导中的场

◆在矩形波导中存在**TE**和**TM**两类波，请注意矩形波导中不可能存在**TEM**波(推而广之，**任何空心管中都不可能存在TEM波**)。

◆1、TE波($E_z=0$, $H_z \neq 0$)(H波)

⊕(1)纵向磁场可表达为 $H_z(x, y, z) = H_{0z}(x, y)e^{-j\beta z}$

⊕(2)而 $H_{0z}(x, y)$ 满足以下方程

$$\nabla_t^2 H_{0z}(x, y) + k_c^2 H_{0z}(x, y) = 0 \quad (2-2-1)$$

⊕(3)在直角坐标系中 $\nabla_t^2 = \frac{\partial^2}{\partial x^2} + \frac{\partial^2}{\partial y^2}$

$$\left(\frac{\partial^2}{\partial x^2} + \frac{\partial^2}{\partial y^2} \right) H_{0z}(x, y) + k_c^2 H_{0z}(x, y) = 0$$

$$(2-2-2)$$

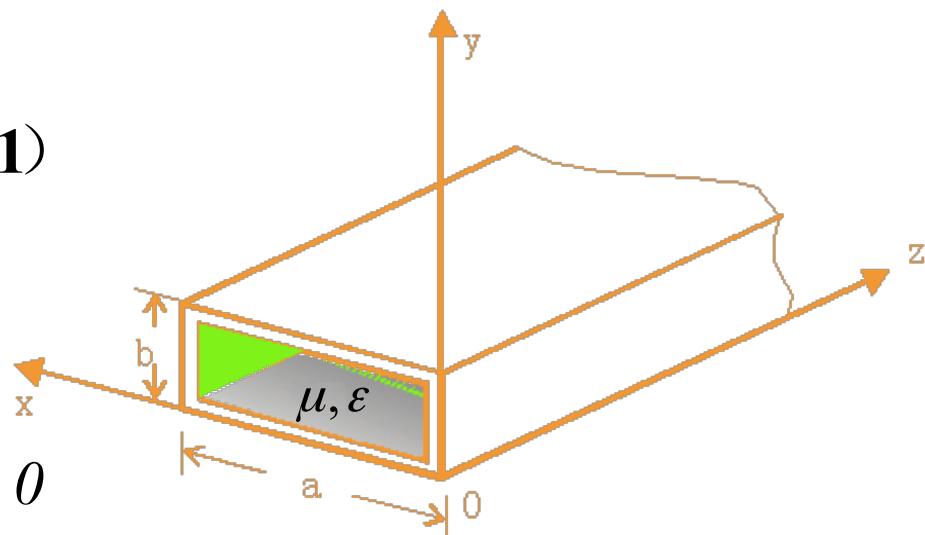


图2-2 矩形波导坐标系

2. 2矩形波导(Rectangular Waveguide)

一、矩形波导中的场

$$\left(\frac{\partial^2}{\partial x^2} + \frac{\partial^2}{\partial y^2} \right) H_{oz}(x, y) + k_c^2 H_{oz}(x, y) = 0$$

(2-2-2)

◆1、TE波($E_z=0$, $H_z \neq 0$)(H波)

⊕(4)应用分离变量法, 令 $H_{oz}(x, y) = X(x)Y(y)$ (2-2-3)

⊕(5)代入式 (2-2-2), 并除以 $X(x)Y(y)$, 得

$$-\frac{1}{X(x)} \frac{d^2 X(x)}{dx^2} - \frac{1}{Y(y)} \frac{d^2 Y(y)}{dy^2} = k_c^2$$

⊕(6)要使上式成立, 上式左边每项必须均为常数

$$\begin{cases} \frac{d^2 X(x)}{dx^2} + k_x^2 X(x) = 0 \\ \frac{d^2 Y(y)}{dy^2} + k_y^2 Y(y) = 0 \\ k_x^2 + k_y^2 = k_c^2 \end{cases} \quad (2-2-4)$$

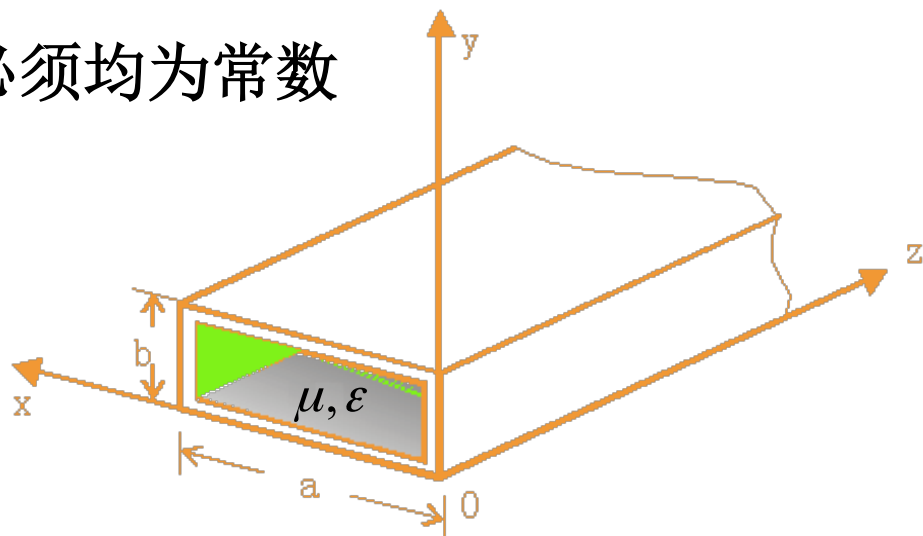


图2-2 矩形波导坐标系

2. 2矩形波导(Rectangular Waveguide)

一、矩形波导中的场

◆1、TE波($E_z=0$, $H_z \neq 0$)(H波)

$$\left. \frac{\partial H_z}{\partial n} \right|_S = 0 \quad (2-1-22)$$

⊕(7) $H_{oz}(\mathbf{x}, \mathbf{y})$ 的通解为

$$H_{oz}(x, y) = (A_1 \cos k_x x + A_2 \sin k_x x)(B_1 \cos k_y y + B_2 \sin k_y y) \quad (2-2-5)$$

⊕(8) A_1 、 A_2 、 B_1 、 B_2 为待定系数, 由边界条件确定。由式(2-1-22)知, H_z 应满足的边界条件为

$$\begin{cases} \left. \frac{\partial H_z}{\partial x} \right|_{x=0} = \left. \frac{\partial H_z}{\partial x} \right|_{x=a} = 0 \\ \left. \frac{\partial H_z}{\partial y} \right|_{y=0} = \left. \frac{\partial H_z}{\partial y} \right|_{y=b} = 0 \end{cases} \quad (2-2-6)$$

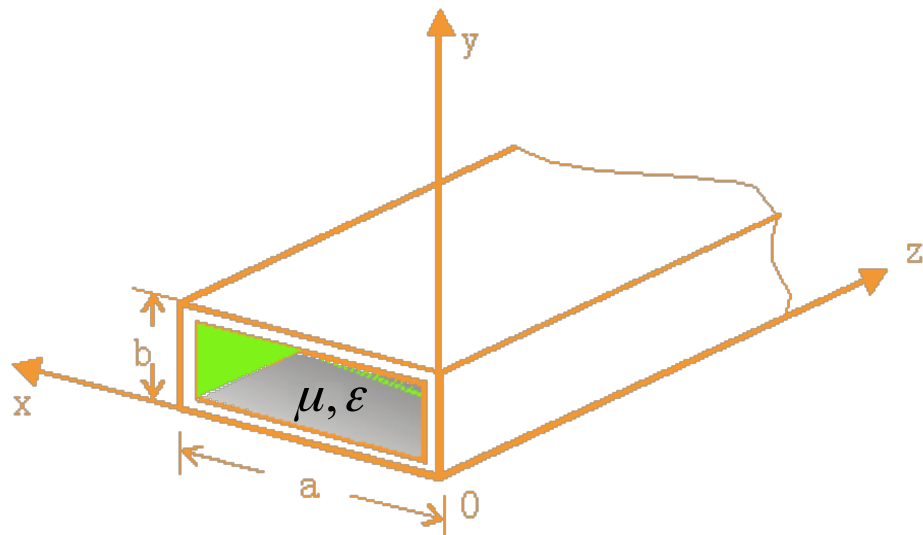


图2-2 矩形波导坐标系

2. 2矩形波导 (Rectangular Waveguide)

一、矩形波导中的场

◆ 1、TE波 ($E_z=0$, $H_z \neq 0$) (H波)

⊕(9)将式 (2-2-5) 代入式 (2-2-6) 可得

$$\begin{cases} A_2 = 0 & k_x = \frac{m\pi}{a} \\ B_2 = 0 & k_y = \frac{n\pi}{b} \end{cases} \quad (2-2-7)$$

⊕(10)于是矩形波导TE波纵向磁场的基本解为

$$\begin{aligned} H_z &= A_1 B_1 \cos\left(\frac{m\pi}{a} x\right) \cos\left(\frac{n\pi}{b} y\right) e^{-j\beta z} \\ &= H_{mn} \cos\left(\frac{m\pi}{a} x\right) \cos\left(\frac{n\pi}{b} y\right) e^{-j\beta z} \quad m, n = 0, 1, 2, \dots \quad (2-2-8) \end{aligned}$$

⊕(11)式中, H_{mn} 为模式振幅常数, 故 $H_z(x, y, z)$ 的通解为

$$H_z = \sum_{m=0}^{\infty} \sum_{n=0}^{\infty} H_{mn} \cos\left(\frac{m\pi}{a} x\right) \cos\left(\frac{n\pi}{b} y\right) e^{-j\beta z} \quad (2-2-9)$$

2.2 矩形波导(Rectangular Waveguide)

一、矩形波导中的场

◆ 1、TE波($E_z=0$, $H_z \neq 0$)(H波)

$$\begin{bmatrix} E_x \\ E_y \\ H_x \\ H_y \end{bmatrix} = \frac{1}{k_c^2} \begin{bmatrix} -\gamma & 0 & 0 & -j\omega\mu \\ 0 & -\gamma & j\omega\mu & 0 \\ 0 & j\omega\varepsilon & -\gamma & 0 \\ -j\omega\varepsilon & 0 & 0 & -\gamma \end{bmatrix} \begin{bmatrix} \frac{\partial E_z}{\partial x} \\ \frac{\partial E_z}{\partial y} \\ \frac{\partial H_z}{\partial x} \\ \frac{\partial H_z}{\partial y} \end{bmatrix}$$

2. 2矩形波导 (Rectangular Waveguide)

一、矩形波导中的场

$$k_c^2 = k_x^2 + k_y^2 = \left(\frac{m\pi}{a}\right)^2 + \left(\frac{n\pi}{b}\right)^2$$

◆ 1、TE波 ($E_z=0$, $H_z \neq 0$) (H波)

⊕ (12)代入式 (2-1-13), 则TE波其它场分量的表达式为

$$\left\{ \begin{array}{l} E_x = \sum_{m=0}^{\infty} \sum_{n=0}^{\infty} \frac{j\omega\mu}{k_c^2} \frac{n\pi}{b} H_{mn} \cos\left(\frac{m\pi}{a}x\right) \sin\left(\frac{n\pi}{b}y\right) e^{-j\beta z} \\ E_y = \sum_{m=0}^{\infty} \sum_{n=0}^{\infty} \frac{-j\omega\mu}{k_c^2} \frac{m\pi}{a} H_{mn} \sin\left(\frac{m\pi}{a}x\right) \cos\left(\frac{n\pi}{b}y\right) e^{-j\beta z} \\ E_z = 0 \\ H_x = \sum_{m=0}^{\infty} \sum_{n=0}^{\infty} \frac{j\beta}{k_c^2} \frac{m\pi}{a} H_{mn} \sin\left(\frac{m\pi}{a}x\right) \cos\left(\frac{n\pi}{b}y\right) e^{-j\beta z} \\ H_y = \sum_{m=0}^{\infty} \sum_{n=0}^{\infty} \frac{j\beta}{k_c^2} \frac{n\pi}{b} H_{mn} \cos\left(\frac{m\pi}{a}x\right) \sin\left(\frac{n\pi}{b}y\right) e^{-j\beta z} \end{array} \right.$$

①TE_{mn}波,m表示x方向变化的半周期数,n表示y方向变化的半周期数;
②m和n不能同时为零,否则场分量全部为零;
③矩形波导能够存在TE_{m0}模和TE_{0n}模及TE_{mn}(m,n≠0)模;④TE₁₀模是最低次模,其余称为高次模。

2. 2矩形波导(Rectangular Waveguide)

一、矩形波导中的场

◆ 2、TM波($H_z=0$, $E_z \neq 0$)(E波)

⊕(1)纵向电场可表达为 $E_z(x, y, z) = E_{0z}(x, y) e^{-j\beta z}$

⊕(2)而 $\mathbf{E}_{0z}(\mathbf{x}, \mathbf{y})$ 满足以下方程

$$\nabla_t^2 E_{0z}(x, y) + k_c^2 E_{0z}(x, y) = 0 \quad (2-2-12)$$

⊕(3) $\mathbf{E}_{0z}(\mathbf{x}, \mathbf{y})$ 的通解为

$$E_{0z}(x, y) = (A_1 \cos k_x x + A_2 \sin k_x x)(B_1 \cos k_y y + B_2 \sin k_y y) \quad (2-2-13)$$

⊕(4)由式(2-1-20)知, \mathbf{E}_z 应满足的边界条件为

$$\begin{cases} E_z(0, y) = E_z(a, y) = 0 \\ E_z(x, 0) = E_z(x, b) = 0 \end{cases} \quad (2-2-14)$$

$$E_z|_S = 0 \quad (2-1-20)$$

2. 2矩形波导 (Rectangular Waveguide)

一、矩形波导中的场

◆ 1、TM波 ($H_z=0$, $E_z \neq 0$) (E波)

⊕ (9) 将式 (2-2-13) 代入式 (2-2-14) 可得

$$\begin{cases} A_1 = 0 & k_x = \frac{m\pi}{a} \\ B_1 = 0 & k_y = \frac{n\pi}{b} \end{cases} \quad (2-2-7)$$

⊕ (10) 于是矩形波导TM波纵向电场的基本解为

$$\begin{aligned} E_z &= A_2 B_2 \sin\left(\frac{m\pi}{a} x\right) \sin\left(\frac{n\pi}{b} y\right) e^{-j\beta z} \\ &= E_{mn} \sin\left(\frac{m\pi}{a} x\right) \sin\left(\frac{n\pi}{b} y\right) e^{-j\beta z} \quad m, n = 0, 1, 2, \dots \quad (2-2-8) \end{aligned}$$

⊕ (11) 式中, E_{mn} 为模式振幅常数, 故 $E_z(x, y, z)$ 的通解为

$$E_z = \sum_{m=0}^{\infty} \sum_{n=0}^{\infty} E_{mn} \sin\left(\frac{m\pi}{a} x\right) \sin\left(\frac{n\pi}{b} y\right) e^{-j\beta z} \quad (2-2-9)$$

2. 2矩形波导(Rectangular Waveguide)

一、矩形波导中的场

◆ 2、TM波($H_z=0$, $E_z \neq 0$)(E波)

⊕ (5)代入式 (2-1-13), 可求得TM波的全部场分量

$$k_c^2 = k_x^2 + k_y^2 = \left(\frac{m\pi}{a}\right)^2 + \left(\frac{n\pi}{b}\right)^2$$

$$\left\{ \begin{array}{l} E_x = \sum_{m=1}^{\infty} \sum_{n=1}^{\infty} \frac{-j\beta}{k_c^2} \frac{m\pi}{a} E_{mn} \cos\left(\frac{m\pi}{a}x\right) \sin\left(\frac{n\pi}{b}y\right) e^{-j\beta z} \\ E_y = \sum_{m=1}^{\infty} \sum_{n=1}^{\infty} \frac{-j\beta}{k_c^2} \frac{n\pi}{b} E_{mn} \sin\left(\frac{m\pi}{a}x\right) \cos\left(\frac{n\pi}{b}y\right) e^{-j\beta z} \\ E_z = \sum_{m=1}^{\infty} \sum_{n=1}^{\infty} E_{mn} \sin\left(\frac{m\pi}{a}x\right) \sin\left(\frac{n\pi}{b}y\right) e^{-j\beta z} \\ H_x = \sum_{m=1}^{\infty} \sum_{n=1}^{\infty} \frac{j\omega\epsilon}{k_c^2} \frac{n\pi}{b} E_{mn} \sin\left(\frac{m\pi}{a}x\right) \cos\left(\frac{n\pi}{b}y\right) e^{-j\beta z} \\ H_y = \sum_{m=1}^{\infty} \sum_{n=1}^{\infty} \frac{-j\omega\epsilon}{k_c^2} \frac{m\pi}{a} E_{mn} \cos\left(\frac{m\pi}{a}x\right) \sin\left(\frac{n\pi}{b}y\right) e^{-j\beta z} \\ H_z = 0 \end{array} \right.$$

(2)

- ① TM_{m_n}波, m表示x方向变化的半周期数, n表示y方向变化的半周期数;
- ② m和n不能为零, 否则场分量全部为零;
- ③ 矩形波导不能够存在TM_{m₀}模和TM_{0_n}模;
- ④ TM_{1₁}模是最低次模, 其余称为高次模。

2. 2矩形波导(Rectangular Waveguide)

二、矩形波导的传输特性

1、截止波数与截止波长(Cutoff Wave Number & Cutoff Wave Length)

⊕(1)矩形波导 TE_{mn} 和 TM_{mn} 模的截止波数均为

$$k_{cmn}^2 = \left(\frac{m\pi}{a}\right)^2 + \left(\frac{n\pi}{b}\right)^2 \quad (2-2-15)$$

⊕(2)对应截止波长为

$$\lambda_{cTE_{mn}} = \lambda_{cTM_{mn}} = \frac{2\pi}{k_{cmn}} = \frac{2}{\sqrt{(m/a)^2 + (n/b)^2}} = \lambda_c \quad (2-2-16)$$

⊕(3)相移常数为

$$\beta = \frac{2\pi}{\lambda} \sqrt{1 - \left(\frac{\lambda}{\lambda_c}\right)^2} \quad (2-2-17) \quad \text{工作波长 } \lambda = \frac{2\pi}{k}$$

2. 2矩形波导 (Rectangular Waveguide)

二、矩形波导的传输特性

1、截止波数与截止波长 (Cutoff Wave Number & Cutoff Wave Length)

⊕(3)相移常数为

$$\beta = \frac{2\pi}{\lambda} \sqrt{1 - \left(\frac{\lambda}{\lambda_c}\right)^2} \quad (2-2-17)$$

⊕(4)讨论：

⊕①工作波长 $\lambda < \lambda_c$ 时， $\beta^2 > 0$ ，此模可在波导中传输，故称为**传导模**；

⊕②工作波长 $\lambda > \lambda_c$ 时， $\beta^2 < 0$ ，即此模在波导中不能传输，称为**截止模**。

⊕③一个模能否在波导中传输取决于波导结构和工作频率（或波长）。

⊕④对相同的 m 和 n ， TE_{mn} 和 TM_{mn} 模具有相同的截止波长故又称为**简并模**，虽然它们场分布不同，但具有相同的传输特性。

⊕⑤ 图 2-3 给出了标准波导BJ-32各模式截止波长分布图。

2. 2矩形波导(Rectangular Waveguide)

二、矩形波导的传输特性

1、截止波数与截止波长(Cutoff Wave Number & Cutoff Wave Length)

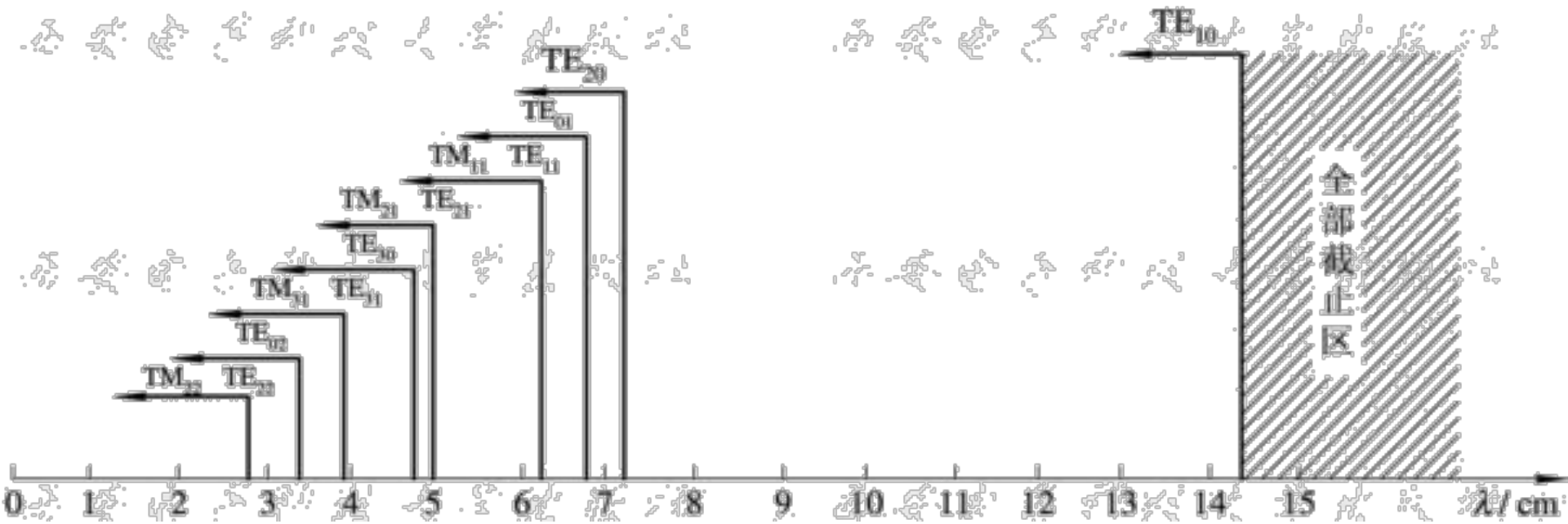


图2-3 BJ-32波导各模式截止波长分布图

2. 2矩形波导(Rectangular Waveguide)

二、矩形波导的传输特性

1、截止波数与截止波长(Cutoff Wave Number & Cutoff Wave Length)

[例2-1] 设某矩形波导的尺寸为**a=8cm, b=4cm**; 试求工作频率在**3GHz**时该波导能传输的模式。

解: $\because f = 3 \text{ GHz}$

$$\therefore \lambda = \frac{c}{f} = 0.1(m)$$

$$\lambda_{cTE_{10}} = 2a = 0.16(m) > \lambda$$

$$\lambda_{cTE_{01}} = 2b = 0.08(m) < \lambda$$

$$\lambda_{cTM_{11}} = \frac{2ab}{\sqrt{a^2 + b^2}} = 0.0715(m) < \lambda$$

可见, 该波导在工作频率为**3GHz**时只能传输**TE₁₀**模。

2. 2矩形波导(Rectangular Waveguide)

二、矩形波导的传输特性

2、主模 TE_{10} 的场分布及其工作特性

⊕①在导行波中截止波长 λ_c 最长的导行模称为该导波系统的**主模**，因而能进行单模传输。

⊕②**矩形波导的主模为 TE_{10} 模**，因为该模式具有场结构简单、稳定、频带宽和损耗小等特点，所以实用时几乎毫无例外地工作在 TE_{10} 模式。

2. 2矩形波导(Rectangular Waveguide)

二、矩形波导的传输特性

2、主模 TE_{10} 的场分布及其工作特性

◆(1) TE_{10} 模的场分布

⊕①将 $m=1, n=0, k_c=\pi/a$, 代入式(2-2-10), 并考虑时间因子 $e^{j\omega t}$, 可得 TE_{10} 模各场分量表达式

$$\begin{cases} E_y = \frac{\omega\mu a}{\pi} H_{10} \sin\left(\frac{\pi}{a}x\right) \cos\left(\omega t - \beta z - \frac{\pi}{2}\right) \\ H_x = \frac{\beta a}{\pi} H_{10} \sin\left(\frac{\pi}{a}x\right) \cos\left(\omega t - \beta z + \frac{\pi}{2}\right) \\ H_z = H_{10} \cos\left(\frac{\pi}{a}x\right) \cos(\omega t - \beta z) \\ E_x = E_z = H_y \end{cases} \quad (2-2-18)$$

2. 2矩形波导 (Rectangular Waveguide)

二、矩形波导的传输特性

2、主模 TE_{10} 的场分布及其工作特性

◆ (1) TE_{10} 模的场分布

⊕ ②由此可见，场强与 y 无关，即各分量沿 y 轴均匀分布，而沿 x 方向的变化规律为

$$\begin{cases} E_y \propto \sin\left(\frac{\pi}{a}x\right) \\ H_x \propto \sin\left(\frac{\pi}{a}x\right) \\ H_z \propto \cos\left(\frac{\pi}{a}x\right) \end{cases} \quad (2-2-19)$$

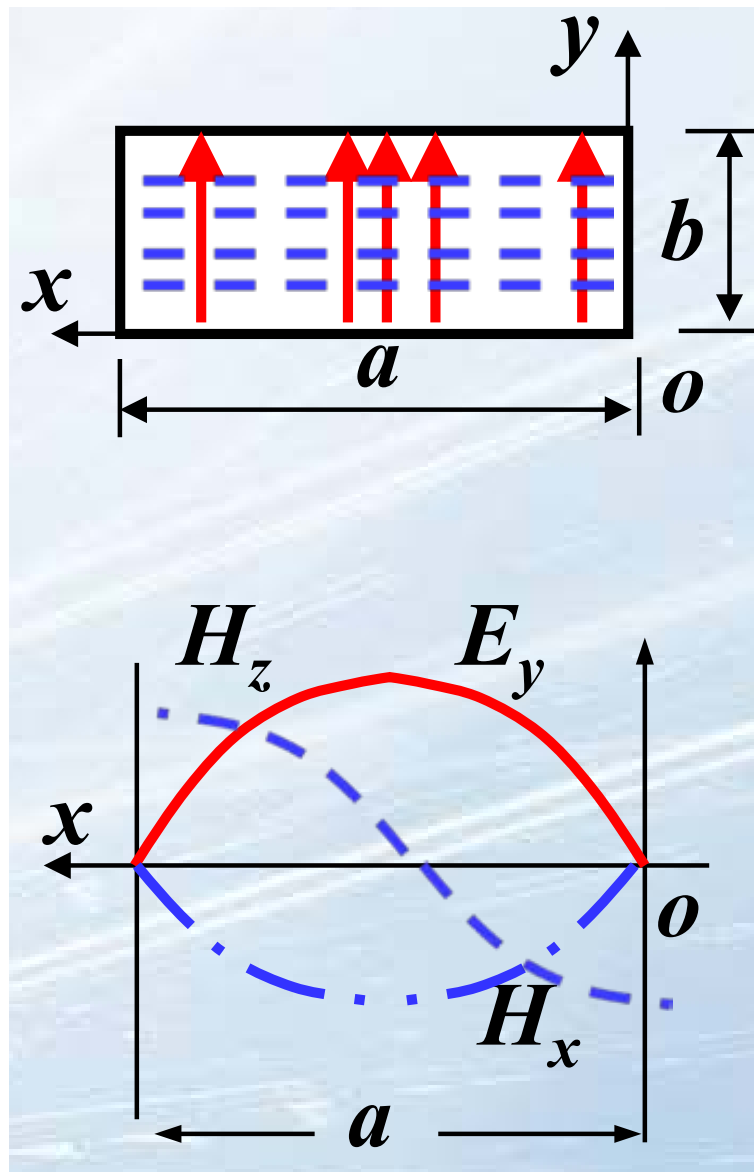


图2-4 矩形波导 TE_{10} 模的场分布图
(a)沿 x 方向场分量分布曲线

2.2 矩形波导 (Rectangular Waveguide)

二、矩形波导的传输特性

2、主模 TE_{10} 的场分布及其工作特性

◆ (1) TE_{10} 模的场分布

⊕ ② 沿 z 方向的变化规律为

$$\begin{cases} E_y \propto \cos\left(\omega t - \beta z - \frac{\pi}{2}\right) \\ H_x \propto \cos\left(\omega t - \beta z + \frac{\pi}{2}\right) \\ H_z \propto \cos(\omega t - \beta z) \end{cases} \quad (2-2-20)$$

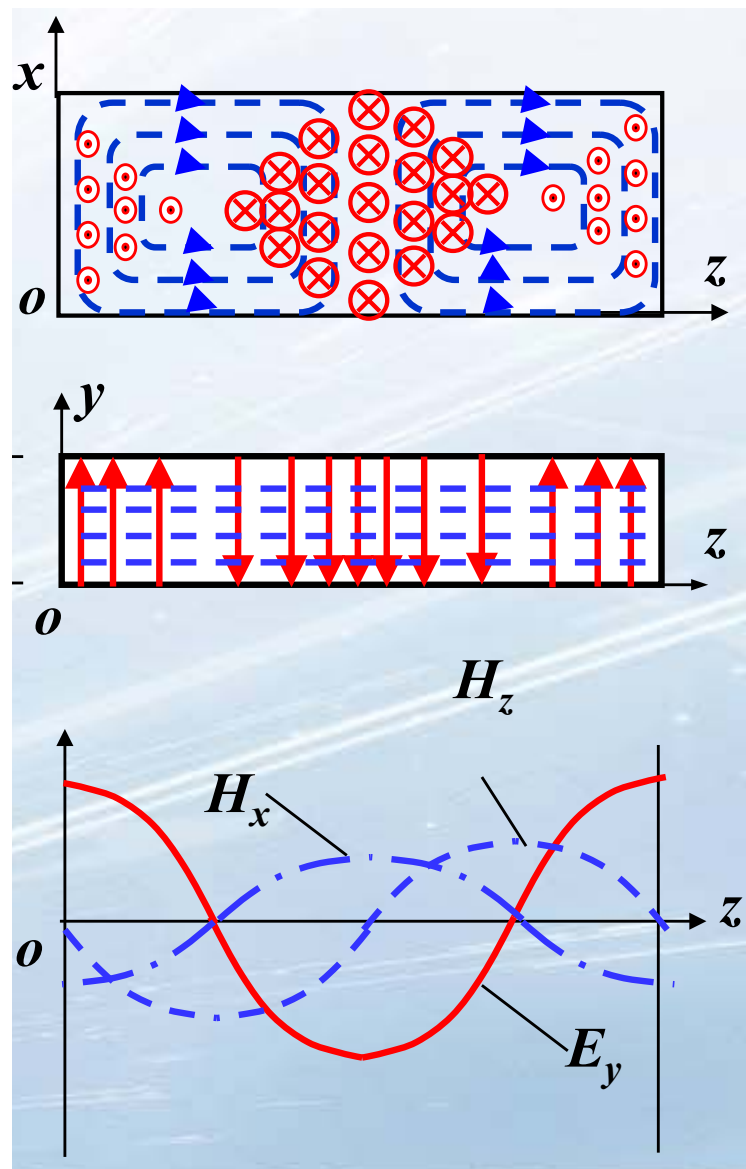


图2-4 矩形波导 TE_{10} 模的场分布图
(b) 沿 z 方向场分量分布曲线

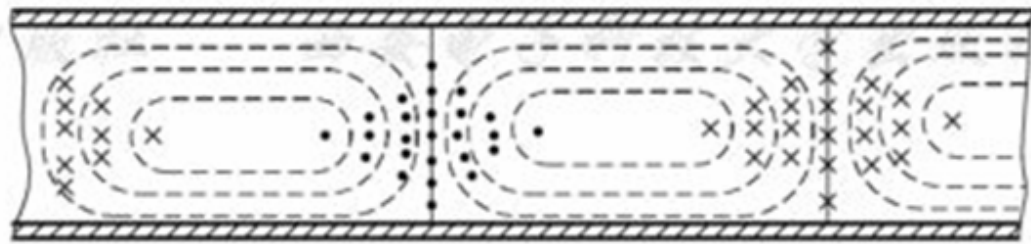
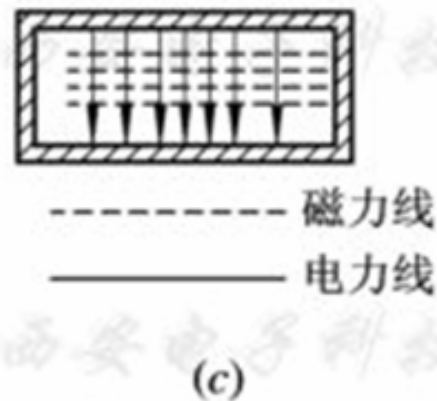
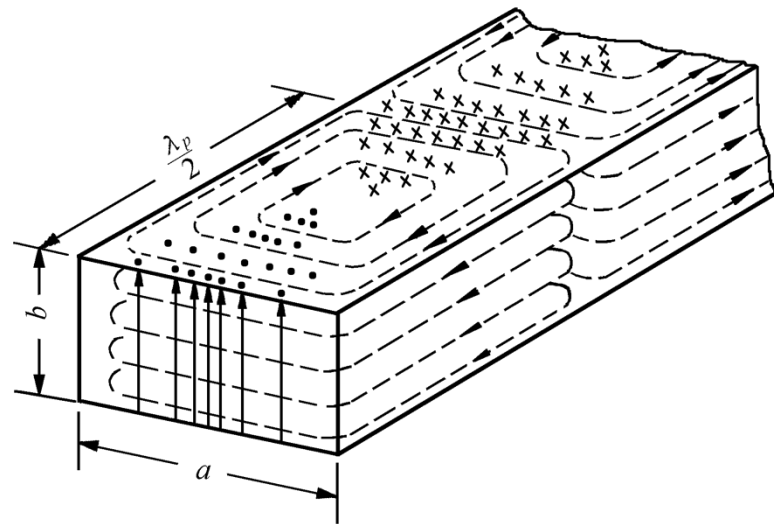
2.2 矩形波导 (Rectangular Waveguide)

二、矩形波导的传输特性

2、主模 TE_{10} 的场分布及其工作特性

◆ (1) TE_{10} 模的场分布

④ 波导横截面和纵剖面上的场分布如图2-4(c)和(d)所示。由图可见， H_x 和 E_y 最大值在同截面上出现，电磁波沿 z 方向按行波状态变化； E_y 、 H_x 和 H_z 相位差为 90° ，电磁波沿横向为驻波分布。



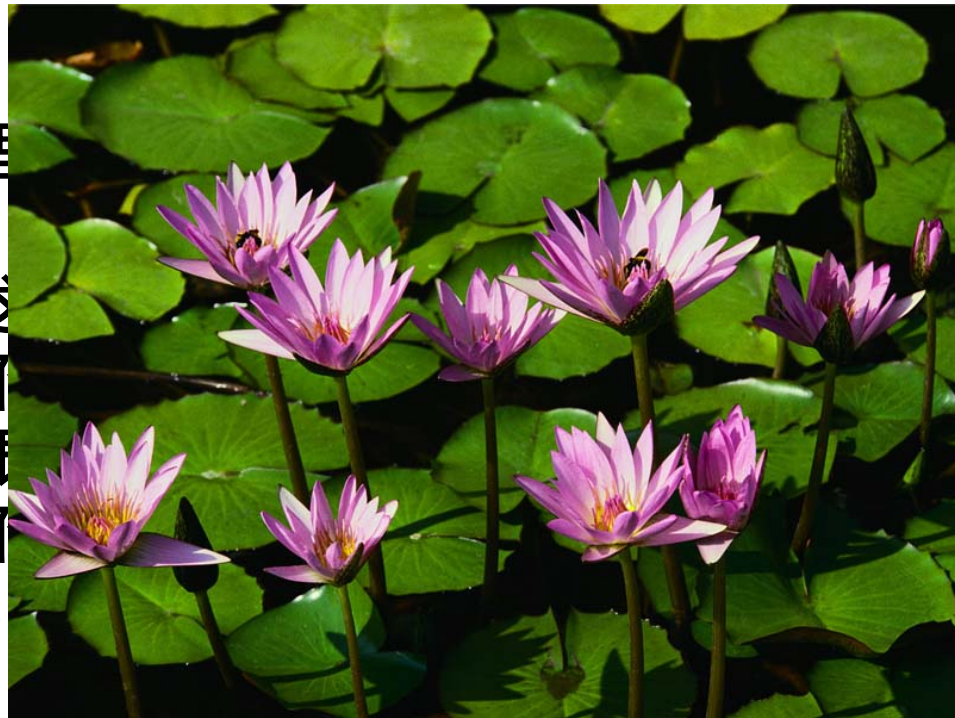
(d)

图2-4 矩形波导 TE_{10} 模的场分布图
(c)波导横截面上场分布图
(d)波导纵剖面上场分布图

2. 2矩形波导(Rectangular Waveguide)

作业：2.1

海蓝博士：【创造人生奇迹的四大障碍】1. 不知道，2. 不相信，3. 不行动，4. 不坚持——首善财富管理集团董事长吴正新语录。**很认同：**人几乎所有不如意都是没有跨越这四大障碍的结果。不学习，所以不知道；总质疑，所以不相信；畏难，所以不行动；缺毅力，所以不坚持。创造奇迹的秘诀？其实就8个字：知道 相信 行动 坚持！



二、两种常用的特殊情况

1. 两种无损耗介质的分界面

无损耗介质，电导率 $\sigma=0$ ，故分界面上一般不存在自由电荷和传导电流，

即： $\rho_s=0, \vec{J}_s=0$

则此时的边界条件为：

$$\vec{n} \times (\vec{H}_1 - \vec{H}_2) = 0 \quad H_{1t} = H_{2t}$$

$$\vec{n} \times (\vec{E}_1 - \vec{E}_2) = 0 \quad \text{或} \quad E_{1t} = E_{2t}$$

$$\vec{n} \cdot (\vec{B}_1 - \vec{B}_2) = 0 \quad B_{1n} = B_{2n}$$

$$\vec{n} \cdot (\vec{D}_1 - \vec{D}_2) = 0 \quad D_{1n} = D_{2n}$$

二、两种常用的特殊情况

2.理想导体与介质的分界面

设 II 区为理想导体, 而 $\sigma_2 = \infty$; I 区为介质, 此时, $\vec{E}_2 = 0, \vec{D}_2 = 0, \vec{B}_2 = 0, \vec{H}_2 = 0$

则边界条件为

$$\vec{n} \times \vec{H}_1 = \vec{J}_s$$

$$H_{1t} = J_s$$

$$\vec{n} \times \vec{E}_1 = 0$$

或

$$E_{1t} = 0$$

$$\vec{n} \cdot \vec{B}_1 = 0$$

$$B_{1n} = 0$$

$$\vec{n} \cdot \vec{D}_1 = \rho_s$$

$$D_{1n} = \rho_s$$